

高精度可训练的  $PDE$  算子：AI 参数数量存在唯一性的数学证明与实证

## High-Precision Trainable PDE Operators: Mathematical Proof and Empirical Validation of Uniqueness in AI Parameter Count

真理是精确的。误差不能变成智慧，只能造成幻觉。

湘潭大学 信息与计算科学学院

杜秋实

中文预印本 V1，待进一步完善格式，实验分析

### 摘要 (Abstract)

1. 本文在数学上证明了，为消除分布外泛化(OOD)幻觉，AI 参数数量的选取必须严格等于在训练集下 *Galerkin* 投影的非线性基底数，即严格遵循等式  $N_{AI} = \dim(V_h) = N_{basis}$  (其中  $V_h$  是 *Galerkin* 投影的有限维子空间， $N_{basis}$  是该空间内的非线性基底数)。为了方便行文论述，我们将此等式命名为**自由度同构等式**。
2. 本文在数学上证明了，大于零的非平凡零空间维度，即  $\dim(\text{Null Space}) > 0$ ，是 AI 在分布外泛化 OOD 中产生幻觉的**充要条件**。

3. 本文在数学上证明了 AI 幻觉不是“优化问题 (Optimization Bug)”，而是“拓扑结构缺陷 (Topological structural defects)”，无法通过工程手段彻底消除幻觉(本文 1.3.6)。

4. 传统机器学习难以训练积分，本质上是难以使用简单参数量和训练集，对非线性函数进行有效训练。因此本文的全部实证都基于经典的非线性函数：高斯钟形曲线、泰勒格林-涡以及 Q4 双线性形函数。

在以上实验中，基于自由度同构等式的 AI(参数量 $O(1)$ )实现了  $O(10^{-32})$  的 OOD 泛化均方差(MSE Loss)，触及 FP64 双精度浮点格式的精度极限(MSE Loss: $(10^{-16})^2$ )，仅需单个训练集样本与最简单 Adam 迭代即可达成。相反，具有  $O(10^5)$  参数数量的传统 MLP 对照组，在对比实验中泛化失败： $O(10^{+1})$ 到  $O(10^{-3})$ 。

5. 为了方便行文论述，本文将这种全新架构的高精度可训练的 PDE 算子命名为 Pure Science AI

关键词：计算数学，FEM，Galerkin 投影，等参变换，秩-零化度定理，AI4Science

## 第一章 自由度匹配参数等式 $\dim(N) = \dim(N_{basis})$ ，即 AI 参数量存在唯一性的数学证明

本章证明思路如下：

1.1 Galerkin 投影——>在局部可通过有限个非线性基底的线性组合去拟合学习任务&可使用秩-零化度定理

1.2 等参变换与拉回——>1.1 的局部性质变成全局性质，即 AI 可通过有限个非线性基底的线性组合去拟合学习任务

1.3 由 1.1 得出的秩-零化度定理使用依据，由 1.3.1，1.3.2，1.3.3，1.3.4 得出证明参数的存在唯一性

- **1.1 证明：状态非线性与参数非线性的数学解耦：通过 Galerkin 投影，实现有限参数量计算和使用秩-零化度定理(Rank-Nullity Theorem)在下文参与证明的数学依据：**

- *Galerkin* 投影：自然界的真实物理解  $u(x, y)$  存在于无限维 *Sobolev* 空间  $\mathcal{V}$  中，具有可数无穷个正交基函数  $\{\Phi_i\}_{i=1}^{\infty}$ 。然而，在实际数值计算与算子学习中，我们通过 *Galerkin* 投影截断该无限维空间，将其降维至一个高度精细的有限维特征子空间  $\mathcal{V}_h \subset \mathcal{V}$ 。

假设物理系统是一个非线性偏微分方程：

$$\mathcal{L}(u) = f \quad \text{in } \Omega$$

其中  $\mathcal{L}$  是包含高度非线性项（如对流项  $u \cdot \nabla u$ ）的微分算子。

### Step 1: 弱形式与测试函数 (The Weak Form)

我们不在每一个点上强求方程成立，而是引入一个测试函数  $v \in V$ ，在全局积分下求内积：

$$\int_{\Omega} \mathcal{L}(u)v \, dx = \int_{\Omega} f v \, dx$$

### Step 2: 伽辽金投影 (Galerkin Projection)

我们将无限维空间  $V$  投影到有限维子空间  $V_h$ 。设  $V_h$  的非线性基底为  $\{\Phi_1, \dots, \Phi_N\}$ 。

此时，我们将试探解  $u_h$  和测试函数  $v_h$  都展开为这组基底的线性组合：

$$u_h(x) = \sum_{j=1}^N a_j \Phi_j(x), \quad v_h(x) = \Phi_i(x)$$

代入弱形式，得到：

$$\int_{\Omega} \mathcal{L}\left(\sum_{j=1}^N a_j \Phi_j(x)\right) \Phi_i(x) \, dx = \int_{\Omega} f \Phi_i(x) \, dx \quad \text{for } i = 1, \dots, N$$

其离散近似解  $u_h$  可表示为一组有限数量的非线性物理基函数  $\Phi_j(x)$  的线性加权：

$$u_h(x, y) = \sum_{j=1}^N a_j \Phi_j(x, y)$$

**状态非线性**完全由基函数 $\Phi_j(x, y)$ （如高阶正交多项式或三角函数如 $\sin(x)\cos(y)$ ）提供，这些基函数赋予PDE流形以“弯曲能力”。

**参数非线性**被完全解耦：网络仅需通过纯线性参数 $a_j$ 组合这些物理基函数即可，此为伽辽金投影下的算子学习目标。

这种数学上的解耦确保了算子相对于参数空间 $W$ 保持严格的线性映射关系，从而提供了使用秩-零化度定理(Rank-Nullity Theorem)进行证明的数学依据。

- **1.2 证明**：将局部性质推广到全局，Pure Science AI 所学习的特征映射具有全局不变性：
  - 
  - 我们引入计算数学中的等参变换和拉回操作进行证明：
  - **证明过程 (Proof):**

**Step 1: 建立不变的标准参考单元：**

设定真实的全局计算域为 $\Omega$ ，其由任意形状的畸变局部单元 $\Omega_e$ 构成，物理坐标标记为 $\mathbf{x} = (x, y)$ 。

引入一个不变的标准参考单元 (Reference Element)  $\hat{\Omega}$  (例如 $[-1, 1] \times [-1, 1]$ )，参考坐标标记为 $\xi = (\xi, \eta)$ 。

存在一个微分同胚的几何映射 $F_e: \hat{\Omega} \rightarrow \Omega_e$ ，使得：

$$\mathbf{x} = F_e(\xi) = \sum_{k=1}^{N_{geo}} \mathbf{x}_k^{(e)} \hat{\Psi}_k(\xi)$$

其中 $\mathbf{x}_k^{(e)}$ 是真实物理网格的节点坐标， $\hat{\Psi}_k$ 是参考空间 $\hat{\Omega}$ 上的几何形状函数。映射的雅可比矩阵 (Jacobian) 定义为：

$$J_e = \frac{\partial \mathbf{x}}{\partial \xi}$$

### Step 2: 拉回

根据等参变换原理，物理空间上的基底函数  $\Phi_j^{(e)}(\mathbf{x})$  与参考空间上的标准基底  $\hat{\Phi}_j(\xi)$  是同一个函数在不同坐标下的表示：

$$\Phi_j^{(e)}(\mathbf{x}) \equiv \hat{\Phi}_j(\xi(\mathbf{x}))$$

因此，任意物理单元上的离散解  $u_h^{(e)}$ ，均可表达为同一组参考空间上标准基底  $\hat{\Phi}_j(\xi)$  的线性加权：

$$u_h^{(e)}(\mathbf{x}) = \sum_{j=1}^N a_j^{(e)} \Phi_j^{(e)}(\mathbf{x}) = \sum_{j=1}^N a_j^{(e)} \hat{\Phi}_j(\xi)$$

由此可得，无论真实网格  $\Omega_e$  多么扭曲，在参考单元  $\hat{\Omega}$  上，基底函数  $\hat{\Phi}_j(\xi)$  的解析形式、正交关系以及拓扑结构，是全域一致且与真实网格  $\Omega_e$  几何无关的。

### Step 3: 微分算子的几何解耦

在 PDE（如对流扩散或泰勒涡）中，我们要计算基底的空间梯度（即微分算子）。根据链式法则引入雅可比矩阵（Jacobian），物理梯度的矩阵变换为：

$$\nabla_{\mathbf{x}} \Phi_j^{(e)}(\mathbf{x}) = J_e^{-T} \nabla_{\xi} \hat{\Phi}_j(\xi)$$

将其代入局部刚度矩阵的积分弱形式中：

$$A_{ij}^{(e)} = \int_{\Omega_e} \nabla_{\mathbf{x}} \Phi_i \cdot \nabla_{\mathbf{x}} \Phi_j \, d\mathbf{x} = \int_{\hat{\Omega}} (J_e^{-T} \nabla_{\xi} \hat{\Phi}_i) \cdot (J_e^{-T} \nabla_{\xi} \hat{\Phi}_j) \det(J_e) \, d\xi$$

### Step 4: 结论：几何与拓扑的分离

1. 几何畸变项（PDE 的表象）： $J_e^{-T}$  和  $\det(J_e)$  包含了所有的网格扭曲、坐标平移和非均匀性。这些是任意坐标空间提供的确定性张量，不需要 AI 去学习
2. 拓扑不变项（AI 的唯一学习对象）： $\nabla_{\xi} \hat{\Phi}_i$  和  $\nabla_{\xi} \hat{\Phi}_j$ 。这是在参考空间中，一组固定的线性相关的非线性基底所具有的。

3. 参数空间：因此，系数向量  $\mathbf{a} = [a_1, a_2, \dots, a_N]^T$  的非线性映射法则（即 Pure Science AI 学习的目标  $\mathcal{T}_{AI}(\mathbf{a})$ ），其数学形式不再显式依赖于物理坐标  $\mathbf{x}$ ，而是完全定义在与几何解耦的参考空间系数域上。

- 结论 (Q.E.D.):局部即是全局，单点即是世界
- 1. 传统大模型在  $\mathbf{x}$  空间(真实的全局计算域)拟合，因此无法拟合  $J_e$  产生的无限数量的变化。Pure Science AI 在  $\xi$  空间（参考单元内）直接对线性系数  $a_j$  建立算子的线性映射，从而在数学底层规避全局坐标畸变与介质非均匀性。局部即全局，此即全局不变性之铁证。
- 2.这意味着，AI 仅需要一组有限个非线性基底的系数作为可训练参量(假设为 4 个)，组装成  $U(x, y) = a_1\Phi_1(x, y) + a_2\Phi_2(x, y) + a_3\Phi_3(x, y) + a_4\Phi_4(x, y)$ ，仅对非线性基底的系数做线性映射，即可完成对全局非线性函数的拟合（第二章实验的根基之一）
- 3.这意味着，AI 仅需要一个参数作为训练集，完成对局部的训练，即可完成对全局非线性函数的拟合（第二章实验的根基之一）

• 1.3 证明：使用秩-零化度定理证明  $\dim(N) = \dim(N_{\text{basis}})$

○ 1.3.1：证明  $\dim(N) = \dim(\text{Image}) + \dim(\text{Null Space})$

- 由 1.2 的结论 2：AI 仅需对非线性基底的系数做线性映射。对于任何一个线性映射  $T: \mathbb{R}^n \rightarrow \mathbb{R}^m$ ，有秩-零化度定理 (Rank-Nullity Theorem)：定义域  $V$  的维数等于核空间  $\text{Ker}(T)$  的维数与值域  $\text{Ran}(T)$  的维数之和，

$$\text{即 } \dim(V) = \dim(\text{Ker}(T)) + \dim(\text{Ran}(T))$$

AI 训练可视为训练从输入数据到输出数据的映射  $f: X \rightarrow Y$ 。在物理场景中，给定输入观测数据  $X_{\text{data}}$ ，前向传播实际上构成了一个由参数空间映射到物理观测空间  $\text{Image}$  的映射  $T$ ：

$$\mathcal{T}_{X_{data}}: \mathbb{R}^{\dim(N)} \rightarrow \mathbb{R}^{\dim(Image)}$$

其中  $\mathcal{T}_{X_{data}}(W) = \Phi W$  ,  $Y = \Phi(X_{data})W$  ,  
 $W$  是AI参数构成的空间,  $\Phi$  是训练集下 Galerkin 投影  
的非线性基底。

因为输入观测  $X_{data}$  与基底  $\Phi$  在优化瞬间是固定的矩阵, 那么该映射  $\mathcal{T}_{X_{data}}(W) = \Phi W$  关于我们要优化的参数空间  $W$  是严格的线性映射 (Linear Mapping)

因此,我们就可以使用秩-零化度定理:

$$\dim(N) = \dim(Image) + \dim(Null Space)$$

**物理意义:** AI 的总参数量  $\dim(N)$ , 等于它能拟合出的有效物理特征维度  $\dim(Image)$ , 加上零空间维度  $\dim(Null Space)$ 。

- 1.3.2:我们给出幻觉的产生的数学证明、公式  $\dim(N) = Rank(Image)$ 的数学证明:

- 由线性代数, 方程组  $Ax = b$  的通解形式为:

即 (最终参数 = 唯一正确匹配物理的特解 + 零空间里的任意向量)

对于具有庞大参数空间  $\mathbb{R}^n$  的网络, 设其最终训练学习到的参数向量为  $W \in \mathbb{R}^{\dim(N)}$ 。根据线性代数, 该向量可被正交分解为真实物理特解  $W_{true}$  与零空间分量  $W_{null}$ :

$$W = W_{true} + W_{null}$$

设训练集流场观测矩阵为  $A_{train}$ , 由于零空间的定义和隐式正则化, 这无穷多个形态对训练集的损失函数 (Loss) 贡献恒为零:

$$A_{train}W_{null} = \mathbf{0} \Rightarrow Loss_{train}(W) = \|A_{train}W_{true} - Y_{true}\|^2$$

这意味着在训练阶段， $W_{null}$  是不可观测且不受任何约束的 (**Unobservable and Unconstrained**)。

当模型进入分布外泛化 *OOD* 测试集时，随着观测测度 (*Measure*) 发生偏移，测试矩阵  $A_{test}$  所张成的行空间 (*Row Space*) 不可避免地与训练矩阵  $A_{train}$  的行空间发生 **几何偏转**。这意味着隐藏在训练集正交补空间  $Ker(A_{train})$  中的冗余分量  $W_{null}$ ，与  $A_{test}$  的行向量组不再保持正交。因此， $W_{null}$  不再被  $A_{test}$  的核空间所包容：

$$\text{即 } W_{null} \notin Ker(A_{test}) \Rightarrow A_{test}W_{null} \neq \mathbf{0}$$

网络在测试集上的输出为：

$$Y_{pred} = A_{test}W = A_{test}W_{true} + A_{test}W_{null}$$

其中，误差项  $E_{hal} = A_{test}W_{null}$  即为幻觉。因为  $W_{null}$  在训练时未受任何有界性约束， $\|E_{hal}\|$  发散。

**因此，非平凡零空间的存在，从数学上充要地决定了 *OOD* 测试集上幻觉的必然爆发。**

为了从根本上消灭  $E_{hal}$ ，我们必须且只能施加强制性的数学约束，避免幻觉产生的可能性：

$$\text{即 } \dim(\text{Null Space}) \equiv 0$$

$$\text{代入 } \dim(N) = \text{Rank}(\text{Image}) + \dim(\text{Null Space})$$

$$\text{得到 } \dim(N) = \text{Rank}(\text{Image})$$

○ **1.3.3:证明：Rank(Image) ≥ dim( $N_{basis}$ ):**

▪ **反证法（假设发生欠拟合）：**

假设  $\text{Rank}(\text{Image}) < \dim(N_{basis})$ ，即  $r < m$ 。

根据线性代数的基础子空间理论，映射矩阵  $A$  的列空间  $C(A)$  仅仅是  $m$  维物理宇宙  $\mathbb{R}^m$  中的一个  $r$  维子空间（一个低维的超平面）。

由于  $r < m$ ，必然存在属于大自然真实物理流形、但正交于  $AI$  列空间的维度。当大自然给出一个包含了这些维度的复杂物理状态  $b$  时，目标向量  $b$  不在矩阵  $A$  的列空间内，即：

$$b \notin C(A)$$

此时，方程  $Ax = b$  无解 (**Inconsistent  $N$** )。

因此， $\text{Rank}(\text{Image}) \geq \dim(N_{\text{basis}})$

○ **1.3.4:证明** :  $\text{Rank}(\text{Image}) \leq \dim(N_{\text{basis}})$ :

- $AI$  的最终输出，由 1.3.1 得出，是被表达为非线性基底的线性组合的：

$$U_h(\mathbf{x}) = \sum_{j=1}^{N_{\text{basis}}} a_j \Phi_j(\mathbf{x})$$

1. **母空间 (The Codomain)** : 根据 *Galerkin* 投影原理，所有的基底函数  $\{\Phi_1, \Phi_2, \dots, \Phi_{N_{\text{basis}}}\}$  张成了一个有限维的试探子空间 (*Trial Space*)，我们记为  $V_h$ 。

根据线性代数基底的定义，这个空间的维度是确定的： $\dim(V_h) \equiv \dim(N_{\text{basis}})$ 。

2. **像空间 (The Image)** :  $AI$  无论怎么变幻参数生成的预测场，都绝对且只能是这  $N_{\text{basis}}$  个基底的某种组合。这意味着， $AI$  映射的**像空间 (Image)**，是试探空间  $V_h$  的一个子集 (**Subset**) 或子空间 (**Subspace**)。

用数学符号表示极其冰冷： $\text{Image}(AI) \subseteq V_h$ 。

3. **子空间维度定理**：任何有限维向量空间的子空间，其维度绝对不可能超过母空间。

因此，我们得出了这个绝对不等式：

$$\text{Rank}(\text{Image}) = \dim(\text{Image}) \leq \dim(V_h) \equiv \dim(N_{\text{basis}})$$

○ **1.3.5**：证明  $\dim(N) = \dim(N_{\text{basis}})$

- 由 1.3.1, 1.3.2, 1.3.3, 1.3.4 得,  $\dim(N) = \dim(N_{\text{basis}})$

命题得证,  $\dim(N) = \dim(N_{\text{basis}})$ , 即 AI 参数量具有存在唯一性

○ **1.3.6**：推论：AI 幻觉是拓扑结构缺陷，不是优化问题：

- 任意 AI 训练方法，其每次参数矩阵  $N$  权重更新，依赖于训练数据的观测矩阵  $X_{\text{data}}$  的行空间 (Row Space)。而零空间 (Null Space) 与行空间是正交补的。
- 非平凡零空间的存在是 AI 幻觉的充要条件 (1.3.2)
- 假设零空间中存在任意一个非零向量  $V_{\text{null}} \in N(A_{\text{train}})$ 。

即  $A_{\text{train}}V_{\text{null}} = \mathbf{0}$ 。

我们在参数空间中，沿着这个零空间方向移动一段距离  $\epsilon$ 。：

$$\begin{aligned} L(W + \epsilon V_{\text{null}}) &= f(A_{\text{train}}(W + \epsilon V_{\text{null}})) \\ &= f(A_{\text{train}}W + \epsilon A_{\text{train}}V_{\text{null}}) \\ &= f(A_{\text{train}}W + \mathbf{0}) \\ &= L(W) \end{aligned}$$

因此，AI 幻觉无法通过训练手段规避

## 第二章 经典非线性物理流形的零幻觉算子逼近与对比实验

### • 2.1 实验设计：

- **函数选取**：传统机器学习难以训练积分，本质上是难以使用简单参数量和训练集，对非线性函数进行有效训练。因此本文的全部实证都基于经典的非线性函数：**Q4 双线性形函数**、**2D 泰勒-格林涡 TGV** 和 **高斯钟形曲线** 作为实验函数。

其中：

- **Q4 双线性形函数**：这是有限元方法（FEM）的经典测试样例，以便验证 *Pure Science AI* 架构能完美复现前文基于有限元理论推导出的判断（1.2 节结论 2, 3），即实现零幻觉的 *OOD* 泛化测试。
  - **2D 泰勒-格林涡 TGV**：这是 *Navier-Stokes* 方程在宏观尺度下的经典非线性全局解，在此测试样例下，*Pure Science AI* 架构同样能实现零幻觉的 *OOD* 泛化测试。
  - **高斯钟形曲线**：高斯曲线是热传导方程（扩散 PDE）的基础解，也是自然界最普遍的格林函数（*Green's Function*）形态。*Pure Science AI* 架构同样能精准捕捉其能量衰减的物理本质，即实现零幻觉的 *OOD* 泛化测试。
- **训练集和测试集**：由第一章 1.2 的结论 2 和 3，我们选取实验函数解析解的单一一点作为训练集，显然其他任意一点作为测试集，都属于 *OOD* 泛化测试

- **主体结构**：Pure Science AI 在程序中称为 White Box AI。作为对照组， $O(10^3)$  至  $O(10^4)$  参数量的传统 MLP 神经网络在程序中被成为 Black Box AI。训练接口和输入输出上，黑盒白盒 ai 保持完全一致。区别在于，（例如在 2D 泰勒-格林涡 TGV 实验中，自由度同构等式要求 AI 的可训练参数数是 4），黑盒 ai 的 4 参数是通过 4 头独立的 mlp 神经网络分别直接对应 4 个非线性基底的系数，而白盒 ai 的 4 参数分别直接对应 4 个非线性基底的系数，即组成了严格对照实验。

● **2.2 极高训练精度与 OOD 泛化**：Train Loss=OOD Loss 的完全一致性验证

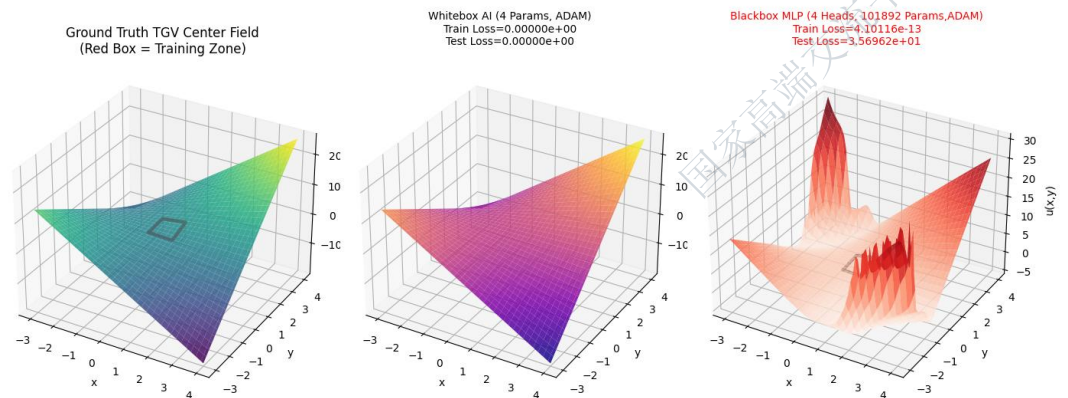
Q4 双线性形函数

- 选取 Q4 双线性形函数的四个非线性基底：

$$\Phi_1=1/4*(1-\xi)*(1-\eta), \Phi_2=1/4*(1+\xi)*(1-\eta), \Phi_3=1/4*(1+\xi)*(1+\eta), \Phi_4=1/4*(1-\xi)*(1+\eta)$$

即解析解系数为 TRUE\_PARAMS = torch.tensor([2.5, -1.2, 3.0, 0.8])

使用 adam 迭代 10000 次，结果如下：



○

一图胜千言，Pure Science AI 表现出了完美的泛化能力，而同思路的黑盒 MLP 仅仅是参数量的不同，就造成了泛化灾难：

以下是本程序的输出数据：

```
train set training+hallucination test for areas outside the training re  
gion : both Adam,10000 Epochs...
```

```
Epoch 500 | Blackbox Loss: 2.49813772e-23 | Whitebox Loss: 3.05895039e-  
01  
Epoch 1000 | Blackbox Loss: 1.72905711e-31 | Whitebox Loss: 4.63515359e-  
04  
Epoch 1500 | Blackbox Loss: 3.19535231e-28 | Whitebox Loss: 1.99171350e-  
08  
Epoch 2000 | Blackbox Loss: 4.72782302e-23 | Whitebox Loss: 9.13440280e-  
15  
Epoch 2500 | Blackbox Loss: 1.42531721e-14 | Whitebox Loss: 7.01882625e-  
24  
Epoch 3000 | Blackbox Loss: 1.95261943e-03 | Whitebox Loss: 2.78884928e-  
29  
Epoch 3500 | Blackbox Loss: 1.17769582e-26 | Whitebox Loss: 2.63569933e-  
29  
Epoch 4000 | Blackbox Loss: 4.31454368e-17 | Whitebox Loss: 1.80660788e-  
29  
Epoch 4500 | Blackbox Loss: 1.06583496e-16 | Whitebox Loss: 9.31978899e-  
30  
Epoch 5000 | Blackbox Loss: 4.91099367e-15 | Whitebox Loss: 6.53309676e-  
30  
Epoch 5500 | Blackbox Loss: 1.04405685e-15 | Whitebox Loss: 3.10613981e-  
30  
Epoch 6000 | Blackbox Loss: 4.32357819e-13 | Whitebox Loss: 2.01186922e-  
30  
Epoch 6500 | Blackbox Loss: 1.12955211e-15 | Whitebox Loss: 1.54074396e-  
30  
Epoch 7000 | Blackbox Loss: 2.84676999e-15 | Whitebox Loss: 7.77904504e-  
31  
Epoch 7500 | Blackbox Loss: 1.57665345e-17 | Whitebox Loss: 2.24606230e-  
31  
Epoch 8000 | Blackbox Loss: 2.62147276e-17 | Whitebox Loss: 2.24606230e-  
31  
Epoch 8500 | Blackbox Loss: 6.43311960e-30 | Whitebox Loss: 2.24606230e-  
31  
Epoch 9000 | Blackbox Loss: 1.86303335e-29 | Whitebox Loss: 0.00000000e-  
+00  
Epoch 9500 | Blackbox Loss: 1.71795432e-17 | Whitebox Loss: 0.00000000e-  
+00  
Epoch 10000 | Blackbox Loss: 4.65801922e-14 | Whitebox Loss: 0.00000000e-  
+00
```

```
OOD training set:Out-of-region test set
```

```
-> blackbox 101892params OOD Loss: 3.56961502e+01
```

```
-> whitebox 4params OOD Loss: 0.00000000e+00
```

-> the parameters learned by the White Box AI: [ 2.50000, -1.20000, 3.00000, 0.80000]  
-> Taylor Green vortex analysis parameter: [ 2.50000, -1.20000, 3.00000, 0.80000]

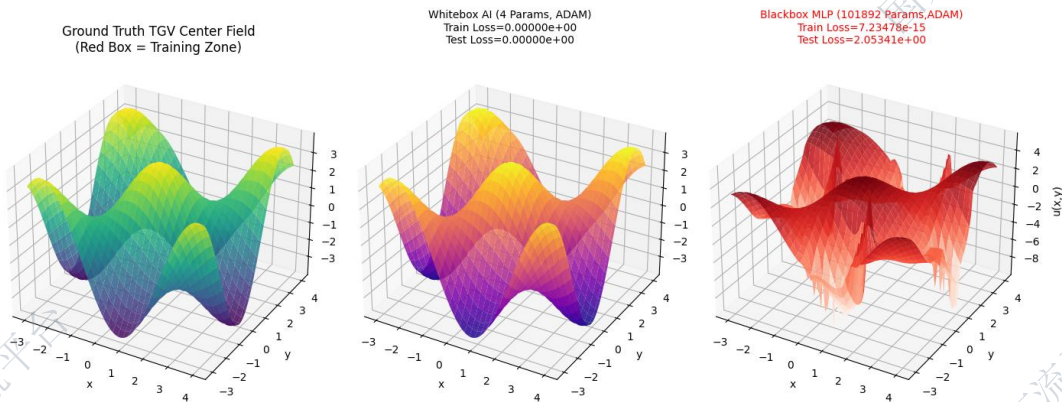
值得注意的是，黑盒 *mlp* 虽然也取得了  $e^{-14}$  的训练成绩，但是典型的 *OOD* 严重幻觉

2D 泰勒-格林涡：

选取泰勒格林涡的四个非线性基底：

四个解析基底  $M1=\sin(x)*\cos(y)$ ,  $M2=\cos(x)*\sin(y)$ ,  $M3=\cos(x)*\cos(y)$ ,  $M4=\sin(x)*\sin(y)$

解析解系数 `TRUE_PARAMS = torch.tensor([2.5, -1.2, 3.0, 0.8])`



如同第一个实验一样的结果：

train set training+hallucination test for areas outside the training region : both Adam,10000 Epochs...

Epoch 500 | Blackbox Loss: 8.87819036e-24 | Whitebox Loss: 1.13881697e-01

Epoch 1000 | Blackbox Loss: 1.20109551e-30 | Whitebox Loss: 1.94627264e-04

Epoch 1500 | Blackbox Loss: 1.19013911e-30 | Whitebox Loss: 1.04116655e-08

Epoch 2000 | Blackbox Loss: 9.87788069e-31 | Whitebox Loss: 6.69809033e-15

Epoch 2500 | Blackbox Loss: 1.61122566e-18 | Whitebox Loss: 8.84806375e-24

Epoch 3000 | Blackbox Loss: 3.12610124e-23 | Whitebox Loss: 1.48157939e

```
-29
Epoch 3500 | Blackbox Loss: 4.82665189e-16 | Whitebox Loss: 1.28874672e
-29
Epoch 4000 | Blackbox Loss: 5.61856309e-12 | Whitebox Loss: 7.93277705e
-30
Epoch 4500 | Blackbox Loss: 2.58827041e-09 | Whitebox Loss: 4.98687460e
-30
Epoch 5000 | Blackbox Loss: 8.03242668e-07 | Whitebox Loss: 2.53777649e
-30
Epoch 5500 | Blackbox Loss: 3.06394637e-06 | Whitebox Loss: 1.39283254e
-30
Epoch 6000 | Blackbox Loss: 2.45072315e-12 | Whitebox Loss: 1.17370451e
-30
Epoch 6500 | Blackbox Loss: 7.91082683e-17 | Whitebox Loss: 4.65647062e
-31
Epoch 7000 | Blackbox Loss: 5.20107335e-10 | Whitebox Loss: 2.84866438e
-31
Epoch 7500 | Blackbox Loss: 2.81007061e-22 | Whitebox Loss: 2.69801386e
-31
Epoch 8000 | Blackbox Loss: 2.34466991e-30 | Whitebox Loss: 1.15042215e
-31
Epoch 8500 | Blackbox Loss: 1.79169144e-08 | Whitebox Loss: 6.57384088e
-32
Epoch 9000 | Blackbox Loss: 4.57072058e-10 | Whitebox Loss: 0.00000000e
+00
Epoch 9500 | Blackbox Loss: 3.61324067e-13 | Whitebox Loss: 0.00000000e
+00
Epoch 10000 | Blackbox Loss: 5.41881218e-15 | Whitebox Loss: 0.00000000
e+00
```

OOD training set:Out-of-region test set

```
-> blackbox 101892params OOD Loss: 2.05341280e+00
-> whitebox 4params OOD Loss: 0.00000000e+00
```

```
-> the parameters learned by the White Box AI: [ 2.50000, -1.20000,
3.00000, 0.80000]
-> Taylor Green vortex analysis parameter: [ 2.50000, -1.20000,
3.00000, 0.80000]
```

高斯钟形曲线：

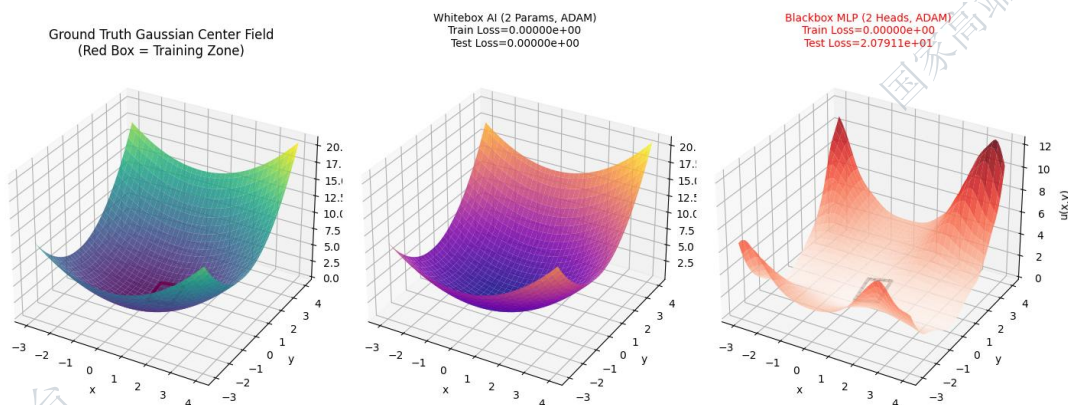
选取 2 个非线性基底：

```
# 两个非线性基底 M1 = X_grid**2, M2 = Y_grid**2
```

值得注意的是，解析式  $y = \exp(a_1 M_1 + a_2 M_2)$

```
a1, a2 的解析解系数为 TRUE_PARAMS = torch.tensor([0.5, 0.8])
```

这次实验结果更惊人，黑盒抢先训练到  $0.00000000e+00$  的机器极限经典，但仍然是泛化灾难，白盒依然证明无幻觉：



程序数据：

train set training+hallucination test for areas outside the training region : both Adam,10000 Epochs...

Epoch	Blackbox Loss	Whitebox Loss
Epoch 500	$1.61281190e-23$	$7.16456170e-02$
Epoch 1000	$0.00000000e+00$	$7.93928391e-04$
Epoch 1500	$0.00000000e+00$	$6.01290169e-06$
Epoch 2000	$0.00000000e+00$	$6.15350625e-09$
Epoch 2500	$0.00000000e+00$	$4.86012800e-13$
Epoch 3000	$0.00000000e+00$	$1.25247896e-18$
Epoch 3500	$0.00000000e+00$	$2.67525430e-26$
Epoch 4000	$0.00000000e+00$	$6.76386596e-30$
Epoch 500	$1.61281190e-23$	$7.16456170e-02$
Epoch 1000	$0.00000000e+00$	$7.93928391e-04$
Epoch 1500	$0.00000000e+00$	$6.01290169e-06$
Epoch 2000	$0.00000000e+00$	$6.15350625e-09$
Epoch 2500	$0.00000000e+00$	$4.86012800e-13$
Epoch 3000	$0.00000000e+00$	$1.25247896e-18$

Epoch 3500 | Blackbox Loss: 0.0000000e+00 | Whitebox Loss: 2.67525430e-26  
Epoch 4000 | Blackbox Loss: 0.0000000e+00 | Whitebox Loss: 6.76386596e-30  
Epoch 1000 | Blackbox Loss: 0.0000000e+00 | Whitebox Loss: 7.93928391e-04  
Epoch 1500 | Blackbox Loss: 0.0000000e+00 | Whitebox Loss: 6.01290169e-06  
Epoch 2000 | Blackbox Loss: 0.0000000e+00 | Whitebox Loss: 6.15350625e-09  
Epoch 2500 | Blackbox Loss: 0.0000000e+00 | Whitebox Loss: 4.86012800e-13  
Epoch 3000 | Blackbox Loss: 0.0000000e+00 | Whitebox Loss: 1.25247896e-18  
Epoch 3500 | Blackbox Loss: 0.0000000e+00 | Whitebox Loss: 2.67525430e-26  
Epoch 4000 | Blackbox Loss: 0.0000000e+00 | Whitebox Loss: 6.76386596e-30  
Epoch 1500 | Blackbox Loss: 0.0000000e+00 | Whitebox Loss: 6.01290169e-06  
Epoch 2000 | Blackbox Loss: 0.0000000e+00 | Whitebox Loss: 6.15350625e-09  
Epoch 2500 | Blackbox Loss: 0.0000000e+00 | Whitebox Loss: 4.86012800e-13  
Epoch 3000 | Blackbox Loss: 0.0000000e+00 | Whitebox Loss: 1.25247896e-18  
Epoch 3500 | Blackbox Loss: 0.0000000e+00 | Whitebox Loss: 2.67525430e-26  
Epoch 4000 | Blackbox Loss: 0.0000000e+00 | Whitebox Loss: 6.76386596e-30  
Epoch 2500 | Blackbox Loss: 0.0000000e+00 | Whitebox Loss: 4.86012800e-13  
Epoch 3000 | Blackbox Loss: 0.0000000e+00 | Whitebox Loss: 1.25247896e-18  
Epoch 3500 | Blackbox Loss: 0.0000000e+00 | Whitebox Loss: 2.67525430e-26  
Epoch 4000 | Blackbox Loss: 0.0000000e+00 | Whitebox Loss: 6.76386596e-30  
Epoch 4500 | Blackbox Loss: 0.0000000e+00 | Whitebox Loss: 5.99589070e-30  
Epoch 5000 | Blackbox Loss: 0.0000000e+00 | Whitebox Loss: 3.57178688e-30  
Epoch 5500 | Blackbox Loss: 0.0000000e+00 | Whitebox Loss: 2.09267268e-30  
Epoch 3500 | Blackbox Loss: 0.0000000e+00 | Whitebox Loss: 2.67525430e-26  
Epoch 4000 | Blackbox Loss: 0.0000000e+00 | Whitebox Loss: 6.76386596e-30  
Epoch 4500 | Blackbox Loss: 0.0000000e+00 | Whitebox Loss: 5.99589070e-30

Epoch 5000 | Blackbox Loss: 0.0000000e+00 | Whitebox Loss: 3.57178688e-30  
Epoch 5500 | Blackbox Loss: 0.0000000e+00 | Whitebox Loss: 2.09267268e-30  
Epoch 4500 | Blackbox Loss: 0.0000000e+00 | Whitebox Loss: 5.99589070e-30  
Epoch 5000 | Blackbox Loss: 0.0000000e+00 | Whitebox Loss: 3.57178688e-30  
Epoch 5500 | Blackbox Loss: 0.0000000e+00 | Whitebox Loss: 2.09267268e-30  
Epoch 6000 | Blackbox Loss: 0.0000000e+00 | Whitebox Loss: 1.25245364e-30  
Epoch 5500 | Blackbox Loss: 0.0000000e+00 | Whitebox Loss: 2.09267268e-30  
Epoch 6000 | Blackbox Loss: 0.0000000e+00 | Whitebox Loss: 1.25245364e-30  
Epoch 6000 | Blackbox Loss: 0.0000000e+00 | Whitebox Loss: 1.25245364e-30  
Epoch 6500 | Blackbox Loss: 0.0000000e+00 | Whitebox Loss: 7.32024573e-31  
Epoch 7000 | Blackbox Loss: 0.0000000e+00 | Whitebox Loss: 2.47203808e-31  
Epoch 7500 | Blackbox Loss: 0.0000000e+00 | Whitebox Loss: 1.70508998e-31  
Epoch 8000 | Blackbox Loss: 0.0000000e+00 | Whitebox Loss: 1.67085122e-31  
Epoch 6500 | Blackbox Loss: 0.0000000e+00 | Whitebox Loss: 7.32024573e-31  
Epoch 7000 | Blackbox Loss: 0.0000000e+00 | Whitebox Loss: 2.47203808e-31  
Epoch 7500 | Blackbox Loss: 0.0000000e+00 | Whitebox Loss: 1.70508998e-31  
Epoch 8000 | Blackbox Loss: 0.0000000e+00 | Whitebox Loss: 1.67085122e-31  
Epoch 7500 | Blackbox Loss: 0.0000000e+00 | Whitebox Loss: 1.70508998e-31  
Epoch 8000 | Blackbox Loss: 0.0000000e+00 | Whitebox Loss: 1.67085122e-31  
Epoch 8500 | Blackbox Loss: 0.0000000e+00 | Whitebox Loss: 7.19013846e-32  
Epoch 8000 | Blackbox Loss: 0.0000000e+00 | Whitebox Loss: 1.67085122e-31  
Epoch 8500 | Blackbox Loss: 0.0000000e+00 | Whitebox Loss: 7.19013846e-32  
Epoch 9000 | Blackbox Loss: 0.0000000e+00 | Whitebox Loss: 0.0000000e+00  
Epoch 9500 | Blackbox Loss: 0.0000000e+00 | Whitebox Loss: 0.0000000e+00  
Epoch 8500 | Blackbox Loss: 0.0000000e+00 | Whitebox Loss: 7.19013846e-32

```
Epoch 9000 | Blackbox Loss: 0.0000000e+00 | Whitebox Loss: 0.0000000e+00
Epoch 9500 | Blackbox Loss: 0.0000000e+00 | Whitebox Loss: 0.0000000e+00
Epoch 9000 | Blackbox Loss: 0.0000000e+00 | Whitebox Loss: 0.0000000e+00
Epoch 9500 | Blackbox Loss: 0.0000000e+00 | Whitebox Loss: 0.0000000e+00
Epoch 9500 | Blackbox Loss: 0.0000000e+00 | Whitebox Loss: 0.0000000e+00
Epoch 10000 | Blackbox Loss: 0.0000000e+00 | Whitebox Loss: 0.0000000e+00
Epoch 10000 | Blackbox Loss: 0.0000000e+00 | Whitebox Loss: 0.0000000e+00
```

OOD training set:Out-of-region test set

```
-> blackbox 2heads OOD Loss: 2.07910732e+01
-> whitebox 2params OOD Loss: 0.0000000e+00
```

-> the parameters learned by the White Box AI: [0.5, 0.8]

## 综上，程序实证了前文证明

声明：

1.论文第一版中文预印本工作全部由本人独立完成，无任何人指导，本人只是湘潭大学信息与计算科学的大四本科生，更深层次的数据分析、理论进一步推导，纠错，仅以我个人能力已经无法继续进行，欢迎读者与我邮箱联系，进行学术交流。

2.本程序大量使用 *vibe coding*，已经进行人工校对，受限于个人学术水平，如有问题请见谅。

附件：2D 泰勒格林涡程序，读者可直接复现（其他两个简单修改一下解析解和白、黑盒的参数即可）

```
import torch
import torch.nn as nn
import torch.optim as optim
import matplotlib.pyplot as plt
import numpy as np

# 锁定高精度最大精度e-16, 后续MSE Loss 做开根运算会把下限打穿, 变成e-30 的工程学奇迹
torch.set_default_dtype(torch.float64)
torch.set_printoptions(precision=8, sci_mode=False)

# 宇宙真实参数 (4 参数)
TRUE_PARAMS = torch.tensor([2.5, -1.2, 3.0, 0.8])
# 即泰勒格林涡流参数:  $u(x,y)=w1*\sin(x)*\cos(y)+w2*\cos(x)*\sin(y)+w3*\cos(x)*\cos(y)+w4*\sin(x)*\sin(y)$ 
# 4 个解析基底:  $M1=\sin(x)*\cos(y)$ ,  $M2=\cos(x)*\sin(y)$ ,  $M3=\cos(x)*\cos(y)$ ,  $M4=\sin(x)*\sin(y)$ 
dx = torch.tensor([-1., 0., 1., -1., 0., 1., -1., 0., 1.])
dy = torch.tensor([ 1., 1., 1., 0., 0., 0., -1., -1., -1.])

def build_features_from_centers(x0, y0):
    """
    x0, y0: 形状 (N, 1)
    返回 features: (N, 4, 9)
    """
    X_grid = x0 + dx.unsqueeze(0)
    Y_grid = y0 + dy.unsqueeze(0)

    # 四个解析基底  $M1=\sin(x)*\cos(y)$ ,  $M2=\cos(x)*\sin(y)$ ,  $M3=\cos(x)*\cos(y)$ ,  $M4=\sin(x)*\sin(y)$ 
    M1 = torch.sin(X_grid) * torch.cos(Y_grid)
    M2 = torch.cos(X_grid) * torch.sin(Y_grid)
    M3 = torch.cos(X_grid) * torch.cos(Y_grid)
    M4 = torch.sin(X_grid) * torch.sin(Y_grid)

    features = torch.stack([M1, M2, M3, M4], dim=1)
    return features

def generate_data(num_samples, x_range, y_range):
    X0 = torch.rand(num_samples, 1) * (x_range[1] - x_range[0]) + x_range[0]
```

```
Y0 = torch.rand(num_samples, 1) * (y_range[1] - y_range[0]) + y_range[0]
```

```
X_grid = X0 + dx.unsqueeze(0)  
Y_grid = Y0 + dy.unsqueeze(0)
```

```
M1 = torch.sin(X_grid) * torch.cos(Y_grid)  
M2 = torch.cos(X_grid) * torch.sin(Y_grid)  
M3 = torch.cos(X_grid) * torch.cos(Y_grid)  
M4 = torch.sin(X_grid) * torch.sin(Y_grid)
```

```
features = torch.stack([M1, M2, M3, M4], dim=1)  
targets = TRUE_PARAMS[0]*M1 + TRUE_PARAMS[1]*M2 + TRUE_PARAMS[2]*M3  
+ TRUE_PARAMS[3]*M4
```

```
return features, targets, X0, Y0
```

```
def true_center_field(x, y):
```

```
    """中心点(dx=0, dy=0)的真值场, 用于可视化。"""
```

```
    return (  
        TRUE_PARAMS[0] * torch.sin(x) * torch.cos(y)  
        + TRUE_PARAMS[1] * torch.cos(x) * torch.sin(y)  
        + TRUE_PARAMS[2] * torch.cos(x) * torch.cos(y)  
        + TRUE_PARAMS[3] * torch.sin(x) * torch.sin(y)  
    )
```

```
# 训练集: 狭小观测区域 [0,1]x[0,1], 1000 个样本
```

```
x_train_features, y_train_targets, _, _ = generate_data(1, [0.0, 1.0],  
[0.0, 1.0])
```

```
# 测试集: 区域外 OOD (较近范围) [-3,4]x[-3,4], 500 个样本
```

```
x_test_features, y_test_targets, _, _ = generate_data(500, [-3.0, 4.0],  
[-3.0, 4.0])
```

```
# =====
```

```
# 1. blackbox AI (25668 params MLP)
```

```
# =====
```

```
class BlackboxAI(nn.Module):
```

```
    def __init__(self):
```

```
        super().__init__()
```

```
        # 每个头: 4 -> 128 -> 128 -> 64 -> 1
```

```
        # 单头参数: 640 + 16512 + 8256 + 65 = 25473
```

```
        # 四头总参数: 25473 * 4 = 101892
```

```
    def make_head():
```

```
        return nn.Sequential(  
            torch.nn.Linear(4, 128),  
            torch.nn.ReLU(),  
            torch.nn.Linear(128, 128),  
            torch.nn.ReLU(),  
            torch.nn.Linear(128, 64),  
            torch.nn.ReLU(),  
            torch.nn.Linear(64, 1)
```

```

        nn.Linear(4, 128),
        nn.Tanh(),
        nn.Linear(128, 128),
        nn.SiLU(),
        nn.Linear(128, 64),
        nn.Tanh(),
        nn.Linear(64, 1),
    )

```

```

self.heads = nn.ModuleList([make_head() for _ in range(4)])

```

```

def forward(self, features):

```

```

    # features: (N, 4, 9)
    # 取中心点(索引4)的4个基底作为4维输入
    x4 = features[:, :, 4] # (N, 4)

```

```

    # 四个头各输出一个系数, 与四个基底一一对应

```

```

    w1 = self.heads[0](x4)
    w2 = self.heads[1](x4)
    w3 = self.heads[2](x4)
    w4 = self.heads[3](x4)
    w = torch.cat([w1, w2, w3, w4], dim=1) # (N, 4)

```

```

    # 用输出的4参数重建9点场, 保持与targets形状一致 (N, 9)
    y9 = (features * w.unsqueeze(-1)).sum(dim=1)
    return y9

```

```

# =====
# 2. whitebox AI 4 params (adam 版本没有物理公式约束, 纯硬跑梯度下降)
# =====

```

```

class Whitebox4ParamAI(nn.Module):
    def __init__(self):
        super().__init__()
        self.w = nn.Parameter(torch.randn(4))#4 params

```

```

    def forward(self, features):
        return (features * self.w.view(1, 4, 1)).sum(dim=1)

```

''' 训练接口上, 黑盒白盒 ai 保持完全一致, 输入都是 features, 形状为(N, 4, 9), 输出预测为(N, 9)的9点场, 训练的也是四个正交基底向量的系数, 都对同一个 y\_train\_target / y\_test\_targets 做MSELoss, 区别在于黑盒 ai 的4参数是通过4头单独的mlp网络拟合出来, 以用于完全模仿白盒的4参数架构, 本样例测试为黑盒 ai 参数为25668, 而白

盒ai的4参数则是直接作为可训练参数存在的'''

```
# ...existing code...

# =====
# 3. equal training : Both Adam
# =====
model_blackbox = BlackboxAI()
model_whitebox = Whitebox4ParamAI()
criterion = nn.MSELoss()

opt_blackbox = optim.Adam(model_blackbox.parameters(), lr=0.01)
opt_whitebox = optim.Adam(model_whitebox.parameters(), lr=0.01)

print("train set training+hallucination test for areas outside the training region : both Adam,10000 Epochs...")
for epoch in range(1, 10001):
    # blackbox
    opt_blackbox.zero_grad()
    loss_b = criterion(model_blackbox(x_train_features), y_train_targets)
    loss_b.backward()
    opt_blackbox.step()

    # whitebox 4param
    opt_whitebox.zero_grad()
    loss_w = criterion(model_whitebox(x_train_features), y_train_targets)
    loss_w.backward()
    opt_whitebox.step()

    if epoch % 500 == 0:
        print(f"Epoch {epoch} | Blackbox Loss: {loss_b.item():.8e} | Whitebox Loss: {loss_w.item():.8e}")

print("\n OOD training set:Out-of-region test set ")
with torch.no_grad():
    test_loss_b = criterion(model_blackbox(x_test_features), y_test_targets)
    test_loss_w = criterion(model_whitebox(x_test_features), y_test_targets)

print(f"-> blackbox 101892params OOD Loss: {test_loss_b.item():.8e}")
```

```

print(f"-> whitebox 4params OOD Loss: {test_loss_w.item():.8e}")

learned_str = "[" + ", ".join([f"{val:10.5f}" for val in model_whitebox.w.tolist()]) + "]"
true_str = "[" + ", ".join([f"{val:10.5f}" for val in TRUE_PARAMS.tolist()]) + "]"
print("\n-> the parameters learned by the White Box AI:", learned_str)
print("-> Taylor Green vortex analysis parameter: ", true_str)

# ...existing code...
# =====
# 4. visualization (结构对齐三维平面脚本)
# =====
with torch.no_grad():
    train_loss_b = criterion(model_blackbox(x_train_features), y_train_targets).item()
    train_loss_w = criterion(model_whitebox(x_train_features), y_train_targets).item()
    test_loss_b = criterion(model_blackbox(x_test_features), y_test_targets).item()
    test_loss_w = criterion(model_whitebox(x_test_features), y_test_targets).item()

    x_line = np.linspace(-3, 4, 70)
    y_line = np.linspace(-3, 4, 70)
    X_mesh, Y_mesh = np.meshgrid(x_line, y_line)

    X_flat = torch.tensor(X_mesh.flatten(), dtype=torch.float64).unsqueeze(1)
    Y_flat = torch.tensor(Y_mesh.flatten(), dtype=torch.float64).unsqueeze(1)

    # 真值 (中心点场)
    Z_true = true_center_field(X_flat, Y_flat).view(-1, 1).numpy().reshape(X_mesh.shape)

    # 构建网格上的 3x3 输入特征, 预测 9 点, 取中心点 index=4 可视化
    X_grid = X_flat + dx.unsqueeze(0)
    Y_grid = Y_flat + dy.unsqueeze(0)
    M1 = torch.sin(X_grid) * torch.cos(Y_grid)
    M2 = torch.cos(X_grid) * torch.sin(Y_grid)
    M3 = torch.cos(X_grid) * torch.cos(Y_grid)
    M4 = torch.sin(X_grid) * torch.sin(Y_grid)

```

```

features_mesh = torch.stack([M1, M2, M3, M4], dim=1)

Z_white = model_whitebox(features_mesh)[:, 4].cpu().numpy().reshape
(X_mesh.shape)
Z_black = model_blackbox(features_mesh)[:, 4].cpu().numpy().reshape
(X_mesh.shape)

# 训练区域框 [0,1]x[0,1]
box_x = np.array([0, 1, 1, 0, 0], dtype=np.float64)
box_y = np.array([0, 0, 1, 1, 0], dtype=np.float64)
box_xt = torch.tensor(box_x, dtype=torch.float64).unsqueeze(1)
box_yt = torch.tensor(box_y, dtype=torch.float64).unsqueeze(1)
box_z = true_center_field(box_xt, box_yt).squeeze(1).cpu().numpy()

fig = plt.figure(figsize=(18, 6))

ax1 = fig.add_subplot(131, projection='3d')
ax1.plot_surface(X_mesh, Y_mesh, Z_true, cmap='viridis', alpha=0.85)
ax1.plot(box_x, box_y, box_z, color='red', linewidth=3)
ax1.set_title("Ground Truth TGV Center Field\n(Red Box = Training Z
one)", fontsize=12)
ax1.set_xlabel("x")
ax1.set_ylabel("y")
ax1.set_zlabel("u(x,y)")

ax2 = fig.add_subplot(132, projection='3d')
ax2.plot_surface(X_mesh, Y_mesh, Z_white, cmap='plasma', alpha=0.85)
ax2.set_title(
    f"Whitebox AI (4 Params, ADAM)\nTrain Loss={train_loss_w:.5e}\n
Test Loss={test_loss_w:.5e}",
    fontsize=10,
    pad=14,
)
ax2.set_xlabel("x")
ax2.set_ylabel("y")
ax2.set_zlabel("u(x,y)")

ax3 = fig.add_subplot(133, projection='3d')
ax3.plot_surface(X_mesh, Y_mesh, Z_black, cmap='Reds', alpha=0.85)
ax3.plot(box_x, box_y, box_z, color='black', linewidth=3)
ax3.set_title(
    f"Blackbox MLP (101892 Params,ADAM)\nTrain Loss={train_loss_b:.
5e}\nTest Loss={test_loss_b:.5e}",
    color='red',
    fontsize=10,
    pad=14,
)

```

```
)  
ax3.set_xlabel("x")  
ax3.set_ylabel("y")  
ax3.set_zlabel("u(x,y)")  
  
plt.tight_layout()  
plt.subplots_adjust(top=0.90)  
plt.show()
```